

# ОПТИЧЕСКИЙ АНАЛОГ ВРАЩАЮЩЕГОСЯ БИНАРНОГО БОЗЕ-КОНДЕНСАТА

*В. П. Рубан\**

*Институт теоретической физики им. Л. Д. Ландау Российской академии наук  
142432, Черногловка, Московская обл., Россия*

Поступила в редакцию 26 мая 2023 г.,  
после переработки 26 мая 2023 г.  
Принята к публикации 31 мая 2023 г.

Связанные нелинейные уравнения Шредингера для параксиальной оптики с двумя круговыми поляризациями света в дефокусирующей керровской среде с аномальной дисперсией по форме совпадают с уравнениями Гросса–Питаевского для бинарного бозе-конденсата холодных атомов в режиме разделения фаз. При этом винтовая симметрия оптического волновода соответствует вращению поперечного потенциала, удерживающего бозе-конденсат. Значительное влияние на распространение световой волны в такой системе оказывает «центробежная сила». Численные эксперименты для волновода эллиптического сечения выявили ранее не наблюдавшиеся в оптике характерные структуры, состоящие из квантованных вихрей и доменных стенок между двумя поляризациями.

DOI: 10.31857/S0044451023110160

EDN: PKISHU

## 1. ВВЕДЕНИЕ

Как известно, распространение квазимонохроматической световой волны в оптической среде с керровской нелинейностью приближенно описывается нелинейным уравнением Шредингера (НУШ), см., например, [1–4] и ссылки там. При этом волна в дефокусирующей среде с аномальной дисперсией групповой скорости подобна разреженному бозе-конденсату холодных отталкивающихся атомов, для которого характерны мягкие топологические возбуждения в виде квантованных вихрей [5]. Оптическая волна может нести в себе две круговые поляризации, и тогда свет описывается двумя связанными НУШ [6], аналогично бинарному бозе-конденсату [7–13]. В бинарной системе, помимо темных солитонов и квантованных вихрей в каждой из двух компонент, возможны еще доменные стенки, разделяющие области с правой и левой круговыми поляризациями [14–22]. Доменная стенка обладает эффективным поверхностным натяжением [10, 23], которое

оказывает сильное воздействие на динамику областей. В теории бозе-конденсатов разделение фаз и сопутствующие ему явления исследованы весьма подробно (см., например, [24–48] и ссылки там). Что касается нелинейной оптики, существенно трехмерные бинарные световые структуры были обнаружены в недавних работах [21, 22].

В настоящей работе внимание уделено пока еще малоизученному вопросу о нелинейном квазимонохроматическом световом пучке с двумя поляризациями в широком волноводе с винтовой симметрией, где пространственная неоднородность показателя преломления среды  $n = n_0 + \tilde{n}(x, y, \zeta)$  на несущей частоте  $\omega_0$  зависит от двух комбинаций безразмерных переменных:

$$\begin{aligned}\tilde{x} &= x \cos \Omega \zeta + y \sin \Omega \zeta, \\ \tilde{y} &= y \cos \Omega \zeta - x \sin \Omega \zeta.\end{aligned}$$

В зависимости от рассматриваемой системы параметр  $\Omega$  определяет или шаг винтового волновода, или период вращения атомной ловушки. Малое отклонение имеет вид

$$\tilde{n} \propto -U(\tilde{x}, \tilde{y}),$$

где  $U$  — некоторая двумерная яма. Заметим сразу же, что эволюционной переменной вместо времени  $t$  у нас служит дистанция  $\zeta$  вдоль оси волновода, а

\* E-mail: ruban@itp.ac.ru

роль третьей «пространственной» координаты играет «запаздывающее» время

$$\tau = t - \zeta/v_{gr}.$$

При сравнении с бозе-конденсатами следует вместо  $\zeta$  иметь в виду  $t$ , а вместо  $\tau$  подразумевать  $z$ . Указанный тип волноводов интересен тем, что в физике холодных газов ему соответствует класс равномерно вращающихся внешних потенциалов

$$V(x, y, t) = U(x \cos \Omega t + y \sin \Omega t, y \cos \Omega t - x \sin \Omega t). \quad (1)$$

С практической точки зрения такие бесконечные по координате  $z$  потенциальные ямы для атомов едва ли реалистичны. Но для оптики они означают всего лишь возможную бесконечную протяженность светового пучка по переменной  $\tau$ , что является вполне приемлемым приближением. Как известно, вращение бозе-конденсата приводит к появлению в нем квантованных вихрей с различными конфигурациями. Наличие двух компонент дополнительно обогащает картину доменными стенками [34–37]. Соответственно, и в оптике должны иметь место аналогичные режимы. Цель этой работы — пронаблюдать в численных экспериментах ранее неизвестные когерентные бинарные структуры, актуальные для оптических систем.

## 2. УРАВНЕНИЯ И ЧИСЛЕННЫЙ МЕТОД

Мы рассматриваем трехмерную, оптически прозрачную диэлектрическую среду с дефокусирующей керровской нелинейностью. Среда слабонеоднородна по пространству. Фоновая диэлектрическая проницаемость дается функцией частоты  $\varepsilon(\omega)$ , так что соответствующий закон дисперсии имеет вид

$$k(\omega) = \sqrt{\varepsilon(\omega)}\omega/c.$$

Нас интересует область аномальной дисперсии групповой скорости (где  $k''(\omega) < 0$ ). Как правило, такой диапазон находится вблизи низкочастотного края окна прозрачности (в реальных веществах это часто инфракрасная область спектра; см., например, работы [49, 50]).

Уравнения для медленных комплексных амплитуд  $A_{1,2}(x, y, \tau, \zeta)$  левой и правой круговых поляризации световой волны хорошо известны [6, 14–21]. Поэтому мы здесь только кратко напомним основ-

ную идею их вывода. Отправной точкой является следствие уравнений Максвелла

$$\text{rot rot } \mathbf{E} = -\frac{1}{c^2} \frac{\partial^2 \mathbf{D}}{\partial t^2}. \quad (2)$$

Вводятся медленные комплексные огибающие  $\mathbf{E}$  и  $\mathbf{D}$  заменами

$$\begin{aligned} \mathbf{E} &= \text{Re}[\mathbf{E} \exp(ik_0\zeta - i\omega_0 t)], \\ \mathbf{D} &= \text{Re}[\mathbf{D} \exp(ik_0\zeta - i\omega_0 t)], \end{aligned}$$

где  $k_0 = k(\omega_0)$  — несущее волновое число. Далее нужно подставить в (2) слабонелинейную материальную зависимость

$$\begin{aligned} \mathbf{D} \approx \int \varepsilon(\omega_0 + \tilde{\omega}) \mathbf{E}_{\tilde{\omega}} e^{-i\tilde{\omega}t} \frac{d\tilde{\omega}}{2\pi} + \\ + \tilde{\varepsilon}(x, y, \zeta) \mathbf{E} + \alpha(\omega_0) |\mathbf{E}|^2 \mathbf{E} + \beta(\omega_0) (\mathbf{E} \cdot \mathbf{E}) \mathbf{E}^* \end{aligned} \quad (3)$$

с отрицательными функциями  $\alpha$  и  $\beta$  в дефокусирующем случае. В ходе преобразований возникает уравнение вида

$$\hat{L} \mathbf{E} = s \{ \mathbf{E} \}$$

с линейным оператором

$$\hat{L} = (k_0 - i\partial_\zeta)^2 - [k(\omega_0 + i\partial_t)]^2$$

и малой правой частью, которая включает в себя поперечный лапласиан, нелинейность и пространственную неоднородность. В главном порядке по малости  $s$  можно положить

$$\hat{L} \approx 2k_0(-i\partial_\zeta - ik_0'\partial_t + k_0''\partial_t^2/2). \quad (4)$$

В конце вывода для перехода к скалярным функциям  $A_{1,2}$  делается замена

$$\mathbf{E} \approx [(\mathbf{e}_x + i\mathbf{e}_y)A_1 + (\mathbf{e}_x - i\mathbf{e}_y)A_2]/\sqrt{2}. \quad (5)$$

В качестве масштаба для поперечных координат удобно взять некоторый большой параметр  $R_0$  (порядка нескольких десятков длин волн, т.е. до одной сотни микрометров). Продольную координату  $\zeta$  будем измерять в единицах  $k_0 R_0^2$  (несколько сантиметров), переменную  $\tau$  — в единицах  $R_0 \sqrt{k_0 |k_0''|}$ , а электрическое поле — в единицах  $\sqrt{2\varepsilon(\omega_0)/|\alpha(\omega_0)|}/(k_0 R_0)$ . Удерживающий потенциал тогда определяется как

$$V = -k_0^2 R_0^2 \tilde{\varepsilon}/2\varepsilon(\omega_0).$$

В этих безразмерных переменных связанные нелинейные уравнения Шредингера имеют вид

$$i \frac{\partial A_{1,2}}{\partial \zeta} = \left[ -\frac{1}{2} \Delta + V(x, y, \zeta) + |A_{1,2}|^2 + g_{12} |A_{2,1}|^2 \right] A_{1,2}, \quad (6)$$

где

$$\Delta = \partial_x^2 + \partial_y^2 + \partial_\tau^2$$

— трехмерный оператор Лапласа в «координатном» пространстве  $(x, y, \tau)$ . Параметр перекрестной фазовой модуляции

$$g_{12} = 1 + 2\beta(\omega_0)/\alpha(\omega_0)$$

в типичном случае примерно равен 2, что соответствует режиму разделения фаз.

В отличие от недавней работы [21], где рассматривались «невращающиеся» параболические потенциалы  $(x^2 + \kappa^2 y^2)/2$ , здесь мы сосредоточимся на винтовых волноводах с плоским дном и резкими стенками. Такие волноводы легче реализовать экспериментально. Но для численного моделирования более удобны гладкие потенциалы; поэтому мы будем аппроксимировать соответствующую прямоугольную яму выражением

$$U = C[1 - \exp(-[(\tilde{x}^2 + \kappa^2 \tilde{y}^2)/36]^5)] \quad (7)$$

с большим параметром  $C \sim 50$  и анизотропией  $\kappa > 1$  (во всех вычислениях бралось значение  $\kappa^2 = 1.5$ ). В результате указанного выбора эффективный диаметр волновода равен примерно 10 (до одного миллиметра). На таком масштабе укладывается несколько сотен длин волн света. При «частоте вращения»  $\Omega \sim 1$  на площади поперечного сечения помещается порядка десятка квантованных вихрей, а ширина их сердцевин зависит от интенсивности волны как  $\xi \sim 1/\sqrt{I}$ . Такого же порядка и ширина доменной стенки  $w$ . Как мы увидим далее из численных результатов, наиболее интересны значения  $I \lesssim 10$ .

Важно, что уравнения (6) представляют собой гамильтонову систему

$$i \partial A_{1,2} / \partial \zeta = \delta \mathcal{H} / \delta A_{1,2}^*$$

Соответствующий неавтономный гамильтониан есть

$$\begin{aligned} \mathcal{H} = & \frac{1}{2} \int (|\nabla A_1|^2 + |\nabla A_2|^2) dx dy d\tau + \\ & + \int V(x, y, \zeta) (|A_1|^2 + |A_2|^2) dx dy d\tau + \\ & + \frac{1}{2} \int (|A_1|^4 + |A_2|^4 + 2g_{12} |A_1|^2 |A_2|^2) dx dy d\tau. \end{aligned} \quad (8)$$

Этот функционал не сохраняется в процессе эволюции. Однако, поскольку во вращающейся системе

координат мы имеем автономную систему, интегралом движения является функционал

$$\mathcal{H}_\Omega = \mathcal{H} - \Omega \int [A^\dagger (iy \partial_x - ix \partial_y) A] dx dy d\tau, \quad (9)$$

где  $A = (A_1, A_2)^T$  — двухкомпонентный столбец. Кроме того, сохраняются также интегралы интенсивностей

$$N_{1,2} = \int |A_{1,2}|^2 dx dy d\tau.$$

Для численного моделирования уравнений (6) использовался стандартный метод (split-step Fourier method) второго порядка точности по эволюционной переменной  $\zeta$  в исходной (невращающейся) системе координат. Вычислительная область по переменным  $x, y, \tau$  имела форму куба со стороной  $6\pi$ , с периодическими граничными условиями. Но, поскольку потенциальная яма достаточно глубока, функции  $A_{1,2}$  быстро убывают практически до нуля в поперечных направлениях, так что влияние поперечных границ пренебрежимо мало.

Точность вычислений контролировалась сохранением интегралов движения до 3–6 десятичных знаков на интервале  $0 < \zeta < 500$  (что практически составляет длину распространения в несколько десятков метров).

Для численного приготовления начального состояния с как можно менее возбужденными жесткими степенями свободы применялся метод распространения в мнимом времени (imaginary-time propagation), причем в равномерно вращающейся системе координат. Этот метод соответствует чисто градиентной диссипативной динамике

$$-\partial A_{1,2} / \partial \eta = \delta \tilde{\mathcal{H}} / \delta A_{1,2}^*,$$

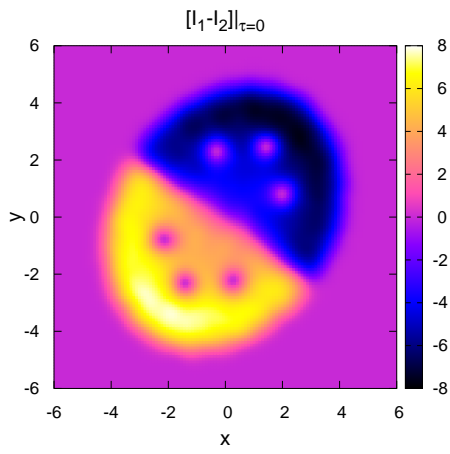
где модифицированный гамильтониан

$$\tilde{\mathcal{H}} = \mathcal{H}_\Omega - \mu(N_1 + N_2)$$

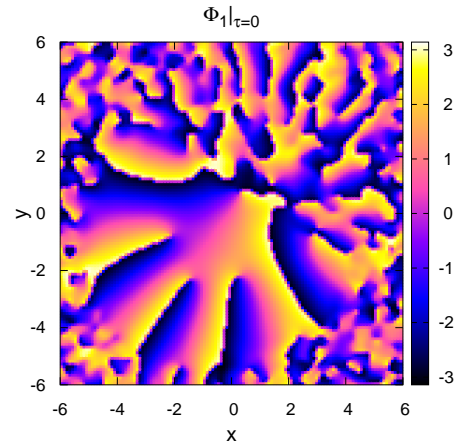
не содержит явной зависимости от квазивременной переменной  $\eta$ . Параметр  $\mu$  (химический потенциал) определяет характерные значения интенсивностей

$$I_{1,2} = |A_{1,2}|^2 \sim \mu.$$

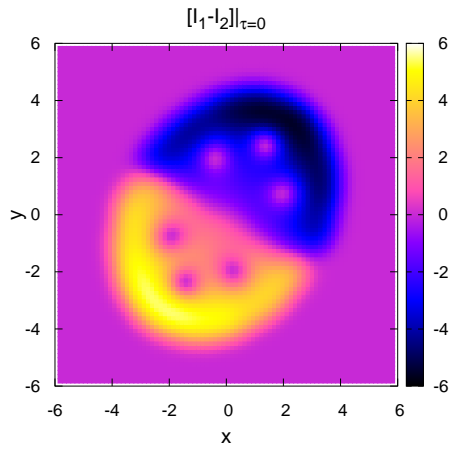
Интервал переменной  $\eta$  составлял несколько десятков, так что в результате все жесткие степени свободы были эффективно погашены и система оказывалась в медленном динамическом режиме недалеко от минимума  $\tilde{\mathcal{H}}$ .



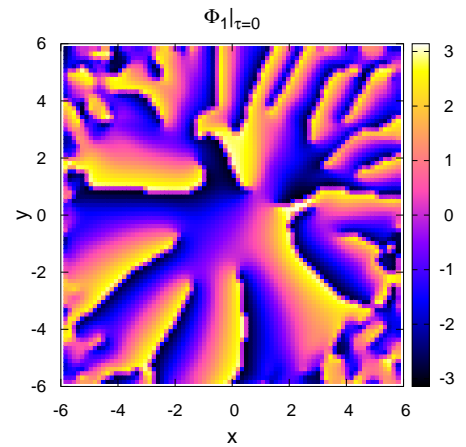
a



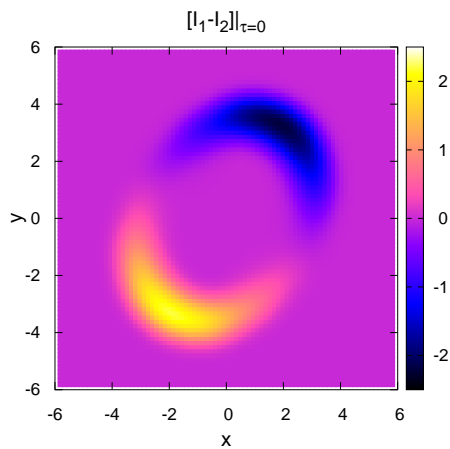
a



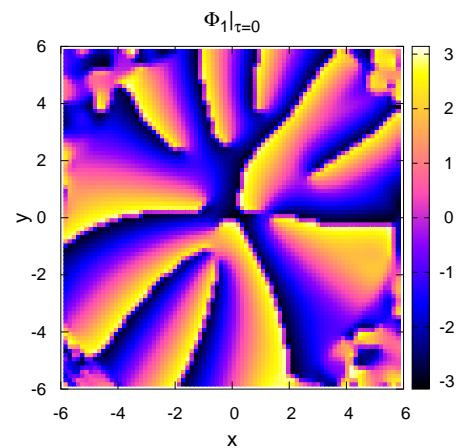
b



b



c



c

Рис. 1. Квазидвумерные конфигурации при  $\zeta = 500$ , соответствующие частоте вращения  $\Omega = 0.8$ . Показана разность локальных интенсивностей в поперечном сечении  $\tau = 0$  для трех значений химического потенциала:  $\mu = 4$  (a);  $\mu = 2$  (b);  $\mu = -1$  (c)

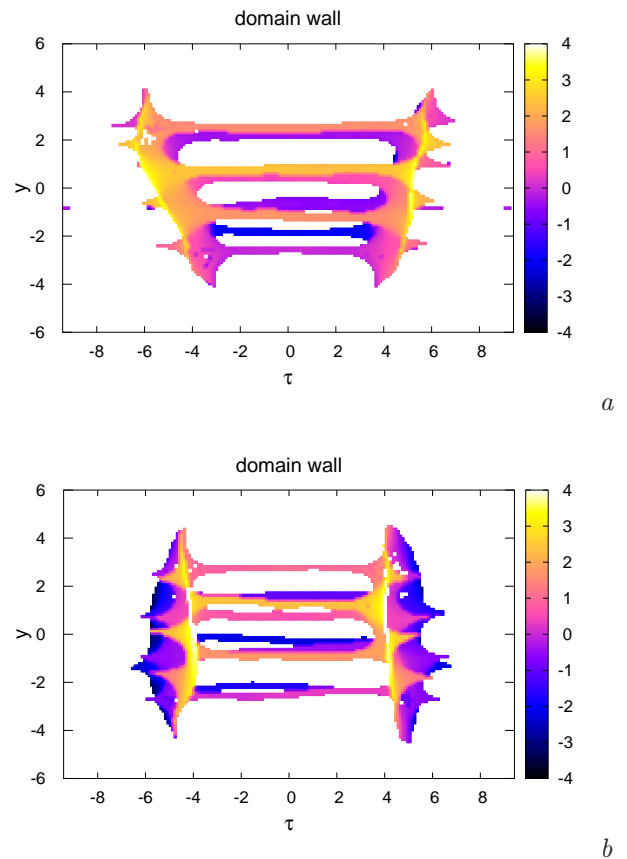
Рис. 2. Фаза  $\Phi_1$  комплексной огибающей  $A_1$  для трех конфигураций, показанных на рис. 1. Здесь панели a, b, c соответствуют таковым на рис. 1

### 3. РЕЗУЛЬТАТЫ

Были проведены две серии численных экспериментов. В первой серии исследовались квазидвумерные конфигурации, когда зависимость от переменной  $\tau$  была слабой, так что вихревые нити шли более-менее параллельно доменной стенке. Во второй серии экспериментов вихри по-прежнему были ориентированы вдоль пучка, но при  $\zeta = 0$  две доменные стенки (на одном периоде по  $\tau$ ) разрезали пучок поперек, образуя тем самым чередующиеся вдоль его оси области правой и левой поляризации, так что вихри присоединялись своими концами к доменным стенкам и сильно деформировали их.

Характерные примеры из первой серии представлены на рис. 1 и 2. Поскольку динамика на всем интервале  $\zeta$  оставалась квазидвумерной, достаточно показать типичное распределение полей в одном из поперечных сечений. Так как интенсивности  $I_1$  и  $I_2$  совместно отличны от нуля только лишь на толщине доменной стенки, их разность оказывается достаточно информативной величиной. Практически, если она положительна, то мы оказываемся в лево-поляризованной области, а если отрицательна, то — в право-поляризованной. При взгляде на рис. 1 бросается в глаза, что интенсивности максимальны не в центре волновода, а на периферии. Это свойство — прямое следствие действия «центробежной силы» во вращающейся системе координат. Центробежная сила прижимает «световые жидкости» к стенкам волновода. Особенно интересен в этом отношении рис. 1с, соответствующий отрицательному значению химического потенциала. Мы видим здесь, что в середине волновода имеется обширная область, где обе интенсивности практически равны нулю. Это есть не что иное, как нелинейный вариант эффекта шепчущей галереи. Интересную информацию о положении вихрей дает рис. 2, где показаны соответствующие рис. 1 распределения фазы первой компоненты. Видно, что лишь часть вихрей расположена в области с заметной интенсивностью  $I_1$  (явные вихри). Эти явные вихри избегают максимумов интенсивности и потому группируются ближе к центру. Другая часть (скрытые вихри) находится в области, где  $I_1$  ничтожно мала. На рис. 1с вообще нет явных вихрей, но имеется десяток скрытых вихрей именно в «пустой» центральной области волновода, как это следует из рис. 2с.

Что касается второй серии экспериментов, то существенно трехмерная эволюция поперечных доменных стенок с присоединенными вихрями проходила различно для различных значений  $\mu$ . При ма-



**Рис. 3.** Численные примеры долгоживущих поперечных доменных стенок с присоединенными вихрями при  $\zeta = 500$ ,  $\Omega = 0.8$  для  $\mu = 4$  (а) и  $\mu = 8$  (б). Цветом отмечена  $x$ -координата тех точек числовой решетки, на которых  $0 < (I_1 - I_2) < d$ , причем  $d = 1.0$  в случае (а) и  $d = 1.8$  в случае (б). Поэтому оказались визуализированными сердцевинки вихрей в первой компоненте, а также тонкий слой вблизи серединной поверхности каждой доменной стенки

лых значениях  $\mu = 0$  и  $\mu = 1$  такие конфигурации быстро «разбалтывались», а затем, после некоторого переходного процесса, формировались квазидвумерные состояния, подобные описанным выше. При больших значениях  $\mu = 4$  и  $\mu = 8$  поперечные стенки, хотя и приобретали в среднем наклонную ориентацию, зависящую от  $\zeta$ , продолжали свое существование на всем интервале  $\zeta$  вплоть до самого конца вычислений. Понимания подобной смены режимов поведения пока нет. Два примера трехмерных структур показаны на рис. 3 (ср. с [37]).

Надо сказать, что при меньшей частоте вращения количество вихрей уменьшается, а стремление к поперечной ориентации доменных стенок усиливается. Эта тенденция вступает в конфликт

с упоминавшейся квазидвумерностью течений при небольших  $\mu$ . Как следствие, в определенной области параметров  $(\Omega, \mu)$  оказывается возможен нетривиальный промежуточный режим, когда имеются один-два вихря и нестационарная, трехмерно-возмущенная доменная стенка, причем вихри способны иногда «прятаться» в эту стенку, полностью или частично. Такая динамика наблюдалась, например, при  $\Omega = 0.4$ ,  $\mu = 2$ . Следует провести подробное исследование этого режима.

#### 4. ЗАКЛЮЧЕНИЕ

Таким образом, в этой работе проведена теоретическая аналогия между когерентной оптической волной в широком винтовом волноводе и вращающимся бинарным бозе-конденсатом холодных атомов. Некоторое различие между этими двумя системами состоит в виде поперечного удерживающего потенциала. Для атомов проще реализовать квадратичный потенциал, а для оптического волновода — плоский профиль показателя преломления с резкими краями. Соответственно, влияние центробежной силы более заметно в последнем случае. Указанное различие приводит к несколько различающимся квазистационарным картинам, как это видно из сравнения представленных здесь рисунков с рисунками в работах [34–37].

Нет сомнения, что данное направление исследований имеет широкие перспективы. Хотя пока что сделаны лишь первые шаги, но уже получены нетривиальные результаты и намечены очередные цели. В первую очередь, необходимо более систематически пройти по параметрической области  $(N_1, N_2, \Omega)$ . Кроме того, с практической точки зрения важно изучить переходные динамические процессы, поскольку сформировать квазистационарные состояния сразу на входе в волновод будет затруднительно. Помимо винтовых волноводов, интересные эффекты должны иметь место и при некоторых других зависимостях формы поперечного сечения от координаты  $\zeta$ . Так, периодические колебания площади сечения или других его геометрических параметров могут послужить причиной параметрических резонансов, которые в нелинейных системах обычно приводят к образованию определенных когерентных структур (см. в качестве примеров работы [32, 33]).

Вопрос о том, адекватна ли простейшая модель (6) для планирования и осуществления оптических экспериментов, нуждается в дальнейшем серьезном

рассмотрении. В реальных веществах могут оказать влияние неучтенные здесь факторы, например, дисперсия третьего порядка и т. п. Было бы в принципе интересно выйти за рамки квазимонохроматического режима и посмотреть, как при этом изменится волновая картина.

**Финансирование.** Работа выполнена в рамках Госзадания 0029-2021-0003.

#### ЛИТЕРАТУРА

1. Y. Kivshar and G. P. Agrawal, *Optical Solitons: From Fibers to Photonic Crystals*, 1st ed., Academic Press, California, USA (2003).
2. V. E. Zakharov and S. Wabnitz, *Optical Solitons: Theoretical Challenges and Industrial Perspectives*, Springer-Verlag, Berlin, Heidelberg (1999).
3. B. A. Malomed, *Multidimensional Solitons*, AIP Publishing (online), Melville, N. Y. (2022), <https://doi.org/10.1063/9780735425118>
4. F. Baronio, S. Wabnitz, and Yu. Kodama, *Phys. Rev. Lett.* **116**, 173901 (2016).
5. P. G. Kevrekidis, D. J. Frantzeskakis, and R. Carretero-González, *The Defocusing Nonlinear Schrödinger Equation: From Dark Solitons to Vortices and Vortex Rings*, SIAM, Philadelphia (2015).
6. А. Л. Берхоер, В. Е. Захаров, *ЖЭТФ* **58**, 903 (1970).
7. Tin-Lun Ho and V. B. Shenoy, *Phys. Rev. Lett.* **77**, 3276 (1996).
8. H. Pu and N. P. Bigelow, *Phys. Rev. Lett.* **80**, 1130 (1998).
9. B. P. Anderson, P. C. Haljan, C. E. Wieman, and E. A. Cornell, *Phys. Rev. Lett.* **85**, 2857 (2000).
10. S. Coen and M. Haelterman, *Phys. Rev. Lett.* **87**, 140401 (2001).
11. G. Modugno, M. Modugno, F. Riboli, G. Roati, and M. Inguscio, *Phys. Rev. Lett.* **89**, 190404 (2002).
12. E. Timmermans, *Phys. Rev. Lett.* **81**, 5718 (1998).
13. P. Ao and S. T. Chui, *Phys. Rev. A* **58**, 4836 (1998).

14. M. Haelterman and A. P. Sheppard, *Phys. Rev. E* **49**, 3389 (1994).
15. M. Haelterman and A. P. Sheppard, *Phys. Rev. E* **49**, 4512 (1994).
16. A. P. Sheppard and M. Haelterman, *Opt. Lett.* **19**, 859 (1994).
17. Yu. S. Kivshar and B. Luther-Davies, *Phys. Rep.* **298**, 81 (1998).
18. N. Dror, B. A. Malomed, and J. Zeng, *Phys. Rev. E* **84**, 046602 (2011).
19. A. H. Carlsson, J. N. Malmberg, D. Anderson, M. Lisak, E. A. Ostrovskaya, T. J. Alexander, and Yu. S. Kivshar, *Opt. Lett.* **25**, 660 (2000).
20. A. S. Desyatnikov, L. Torner, and Yu. S. Kivshar, *Progr. Opt.* **47**, 291 (2005).
21. В. П. Рубан, Письма в ЖЭТФ **117**, 292 (2023).
22. В. П. Рубан, Письма в ЖЭТФ **117**, 590 (2023).
23. B. Van Schaeybroeck, *Phys. Rev. A* **78**, 023624 (2008).
24. K. Sasaki, N. Suzuki, and H. Saito, *Phys. Rev. A* **83**, 033602 (2011).
25. H. Takeuchi, N. Suzuki, K. Kasamatsu, H. Saito, and M. Tsubota, *Phys. Rev. B* **81**, 094517 (2010).
26. N. Suzuki, H. Takeuchi, K. Kasamatsu, M. Tsubota, and H. Saito, *Phys. Rev. A* **82**, 063604 (2010).
27. H. Kokubo, K. Kasamatsu, and H. Takeuchi, *Phys. Rev. A* **104**, 023312 (2021).
28. K. Sasaki, N. Suzuki, D. Akamatsu, and H. Saito, *Phys. Rev. A* **80**, 063611 (2009).
29. S. Gautam and D. Angom, *Phys. Rev. A* **81**, 053616 (2010).
30. T. Kadokura, T. Aioi, K. Sasaki, T. Kishimoto, and H. Saito, *Phys. Rev. A* **85**, 013602 (2012).
31. K. Sasaki, N. Suzuki, and H. Saito, *Phys. Rev. A* **83**, 053606 (2011).
32. D. Kobayakov, V. Bychkov, E. Lundh, A. Bezett, and M. Marklund, *Phys. Rev. A* **86**, 023614 (2012).
33. D. K. Maity, K. Mukherjee, S. I. Mistakidis, S. Das, P. G. Kevrekidis, S. Majumder, and P. Schmelcher, *Phys. Rev. A* **102**, 033320 (2020).
34. K. Kasamatsu, M. Tsubota, and M. Ueda, *Phys. Rev. Lett.* **91**, 150406 (2003).
35. K. Kasamatsu and M. Tsubota, *Phys. Rev. A* **79**, 023606 (2009).
36. P. Mason and A. Aftalion, *Phys. Rev. A* **84**, 033611 (2011).
37. K. Kasamatsu, H. Takeuchi, M. Tsubota, and M. Nitta, *Phys. Rev. A* **88**, 013620 (2013).
38. В. П. Рубан, Письма в ЖЭТФ **113**, 848 (2021).
39. В. П. Рубан, ЖЭТФ **160**, 912 (2021).
40. K. J. H. Law, P. G. Kevrekidis, and L. S. Tuckerman, *Phys. Rev. Lett.* **105**, 160405 (2010); *Erratum*, *Phys. Rev. Lett.* **106**, 199903 (2011).
41. M. Pola, J. Stockhofe, P. Schmelcher, and P. G. Kevrekidis, *Phys. Rev. A* **86**, 053601 (2012).
42. S. Hayashi, M. Tsubota, and H. Takeuchi, *Phys. Rev. A* **87**, 063628 (2013).
43. G. C. Katsimiga, P. G. Kevrekidis, B. Prinari, G. Biondini, and P. Schmelcher, *Phys. Rev. A* **97**, 043623 (2018).
44. A. Richaud, V. Penna, R. Mayol, and M. Guilleumas, *Phys. Rev. A* **101**, 013630 (2020).
45. A. Richaud, V. Penna, and A. L. Fetter, *Phys. Rev. A* **103**, 023311 (2021).
46. В. П. Рубан, Письма в ЖЭТФ **113**, 539 (2021).
47. В. П. Рубан, Письма в ЖЭТФ **115**, 450 (2022).
48. V. P. Ruban, W. Wang, C. Ticknor, and P. G. Kevrekidis, *Phys. Rev. A* **105**, 013319 (2022).
49. X. Liu, B. Zhou, H. Guo, and M. Bache, *Opt. Lett.* **40**, 3798 (2015).
50. X. Liu and M. Bache, *Opt. Lett.* **40**, 4257 (2015).